

К РАСЧЕТУ ПОГЛОЩЕНИЯ В КОЛЕБАТЕЛЬНО-ВРАЩАТЕЛЬНОЙ ПОЛОСЕ СПЕКТРА

С. И. Детков

(Свердловск)

Интегральное поглощение в полосе спектра представлено в виде ряда. Устанавливается монотонное возрастание коэффициентов ряда и их предел. Результаты используются для анализа известных формул поглощения и при составлении приближенных формул.

В камерах сгорания парогенераторов, газовых турбин и других агрегатов теплообмен происходит в основном за счет излучения и поглощения среды с колебательно-вращательным спектром. В расчетах теплообмена излучением необходимо учитывать характеристики полос спектра. Центральную роль приобрела оптико-геометрическая величина  $A$ , названная интегральным поглощением в полосе спектра

$$A = \Delta\omega \int_0^{\infty} [1 - \exp(-\alpha_{\omega}(y)x)] dy \quad (1)$$

$$\alpha_{\omega} = \alpha_0\psi(y), \quad \alpha_0 = S / \Delta\omega, \quad y = |\omega - \omega_0| / \Delta\omega$$

Здесь  $\omega$  — волновое число ( $см^{-1}$ ),  $\omega_0$  — положение центра полосы,  $\Delta\omega$  — параметр ширины,  $S$  — интегральная интенсивность ( $см^{-1} / м \cdot атм$ ),  $x$  — путь луча ( $м \cdot атм$ ),  $\alpha_{\omega}$  — спектральный коэффициент поглощения ( $м \cdot атм$ ) $^{-1}$ ,  $\psi$  — безразмерная функция. Величине  $A$  посвящен специальный раздел теории, включающий модели полос.

Далее вместо формулы (1) рассмотрим ряд для безразмерного поглощения, полученный разложением в формуле (1) экспоненциального члена

$$\bar{A} = \frac{A}{\Delta\omega} = \alpha_1 x - \alpha_1 \alpha_2 \frac{x^2}{2!} + \dots + (-1)^{i+1} \frac{x^i}{i!} \prod_{j=1}^i \alpha_j \dots \quad (2)$$

$$\prod_{j=1}^i \alpha_j = \int_0^{\infty} \alpha_{\omega}^i dy \quad (3)$$

*Теорема.* Последовательность коэффициентов ряда (2) монотонно увеличивается до предела

$$\lim_{i \rightarrow \infty} \alpha_i = (\alpha_{\omega})_{\max}, \quad i \geq 2 \quad (4)$$

Здесь  $(\alpha_{\omega})_{\max}$  — максимальный спектральный коэффициент поглощения.

При доказательстве заметим предварительно, что полосу всегда можно перестроить так, чтобы спектральный коэффициент  $\alpha_{\omega}$  уменьшался монотонно от максимального значения при  $v = 0$  до нуля на бесконечности. Здесь  $v = \nu / \Delta\omega$ ,  $\nu$  — значение аргумента после перестройки оси волновых чисел.

Контур перестроенной полосы заменим линией

$$\alpha_\omega = (\alpha_\omega)_{\max} (1 - v/v_0)$$

где  $v_0$  — абсцисса, при которой коэффициент  $\alpha_\omega(v)$  убывает до нуля. Линейный контур покрывает действительный контур или касается его. Тем самым теорема доказывается в менее благоприятных условиях. Из соотношения (3) следует:

$$\alpha_i = (\alpha_\omega)_{\max} \frac{\int_0^{v_0} (1 - v/v_0)^i dv}{\int_0^{v_0} (1 - v/v_0)^{i-1} dv} = \frac{i}{i+1} (\alpha_\omega)_{\max}$$

Теорема доказана.

При  $v_0 \rightarrow \infty$  возникает особенность. Но в этом случае достаточно рассмотреть прямоугольный контур, перекрывающий все другие. Результат получается простой: все  $\alpha_j$  равны, а ряд (2) свертывается точно

$$\bar{A} = 1 - \exp(-\alpha_j x)$$

Теорема легко проверяется на примерах одиночных линий с дисперсионным или доплеровским контурами. Она может быть доказана феноменологически, если коэффициентам  $\alpha_j$  придать физический смысл. Так, коэффициент  $\alpha_1$  определяет поглощение черного потока в полосе на начальном участке (при  $x = 0$ ). Коэффициент  $\alpha_2$  определяет поглощение переизлученного потока на начальном участке. Коэффициент  $\alpha_3$  определяет переизлучение описанного поглощенного потока, если в этой, как и в последующих, стадии взаимодействия излучения с газом уже нет перераспределения энергии по волновым числам. Коэффициент  $\alpha_4$  определяет поглощение описанного переизлученного потока на начальном участке и т. д. Число переизлучений в принципе бесконечно. По мере переизлучений составляющие потока с меньшими значениями  $\alpha_\omega$  исчезают; остается последняя составляющая с максимальным спектральным коэффициентом поглощения.

Исследование известных функций  $\bar{A}$  возможно после их дифференцирования и определения последовательности  $\alpha_j$  на основании равенства

$$\prod_{j=1}^i \alpha_j = (-1)^{i+1} (\partial^i \bar{A} / \partial x^i)_{x=0} = (-1)^{i+1} \bar{A}_0^{(i)} \quad (5)$$

Расхождения с теоремой укажут на некорректность исследуемой формулы  $\bar{A}$ . По теореме (4) можно найти  $(\alpha_\omega)_{\max}$ .

Определение производных  $\bar{A}_0^{(i)}$  часто бывает громоздким. Удастся найти лишь первые производные. В таком случае выводы можно сделать для малых и средних толщин, когда основную роль играют первые коэффициенты —  $\alpha_1, \alpha_2, \dots$ . По мере утолщения слоя газа их роль снижается, хотя и не скоро, поскольку оптическая толщина на кантах полос остается малой при очень больших толщинах слоя.

Рассмотрим класс формул, полученных на основании моделей полос

$$\bar{A} = \int_0^\infty A_\omega dy \quad (6)$$

Здесь  $A_\omega$  — среднее поглощение в достаточно узком интервале спектра. Величины  $A_\omega$  описываются узкополосными моделями. В [1] показано, что во всех моделях от регулярных до статистических в качестве аргумента  $A_\omega$  можно принять

$$z = \frac{sx/d}{\sqrt{1 + ax/s/\beta d}}, \quad \beta = 2\pi \frac{b}{d}, \quad 2 \geq a \geq \frac{\pi}{2} \quad (7)$$

Здесь  $s$ ,  $b$  и  $d$  — интегральная интенсивность, полуширина линии и среднее расстояние между ними. Число  $a$  зависит от принятой модели. Из (5) и (6) следует:

$$\prod_{j=1}^i \alpha_j = (-1)^{i+1} \int_0^\infty A_{\omega_0}^{(i)} dy, \quad A_{\omega_0}^{(i)} = (\partial^i A_\omega / \partial x^i)_{x=0} \quad (8)$$

Производная  $A_{\omega_0}^{(i)}$  состоит из суммы, в члены которой входят разные производные  $z_0^{(k)} = (\partial^k z / \partial x^k)_{x=0}$ , включая высшую производную  $z_0^{(i)}$ . Согласно (7)

$$z_0^{(k)} = (-1)^{k+1} \left(\frac{s}{a}\right)^k \left(\frac{a}{2\beta}\right)^{k-1} k \times 1 \times 3 \times 5 \times \dots \times (2k-3)$$

После подстановки  $z_0^{(k)}$  в (8), если параметр  $\beta$  не зависит от волнового числа, получается

$$\prod_{j=1}^i \alpha_j = F_i(\beta) \int_0^\infty \left(\frac{s}{a}\right)^i dy \quad (9)$$

Функция  $F_i$  — полином, в члены которого входят множители  $(1/\beta)^{k-1}$  при  $k = 1, 2, \dots, i$ .

Зависимость параметра  $s/d$  от волнового числа определяется в так называемой широкополосной модели [2]

$$s/d = \alpha_0 f(y), \quad \alpha_0 = S/\Delta\omega, \quad \int_0^\infty f(y) dy = 1 \quad (10)$$

Функция  $f(y)$  — огибающая полосы. Из (9) и (10) следует:

$$\prod_{j=1}^i (\alpha_j / \alpha_0) = C_i F_i, \quad C_i = \int_0^\infty f^i(y) dy \quad (11)$$

Как видно, последовательность чисел  $C_i$  определяется только широкополосной моделью. Теорема выполняется при любой функции  $f(y)$ , хотя бы отдаленно похожей на огибающую полосы. Последовательность чисел  $F_i$  определяется только узкополосной моделью. Она же определяет зависимость поглощения от давления.

Перейдем к конкретным формулам интегрального поглощения, получившим широкое распространение.

*Широкополосная модель Эдвардса* [2]. Огибающая полосы соответствует модели жесткого ротатора

$$f(y) = y \exp(-y^2) \quad (12)$$

Здесь  $Q$ -ветвь отброшена,  $P$ - и  $R$ -ветви приняты симметричными. Параметр  $\beta$  не зависит от волнового числа. Параметр  $\Delta\omega$  характеризует одну

ветвь полосы, что несколько меняет часть формул (10) и (11)

$$C_1 = 2 \int_0^{\infty} f(y) dy = 1, \quad C_i = 2 \int_0^{\infty} f^i(y) dy = \Gamma\left(\frac{i+1}{2}\right) / i^{(i+1)/2}, \quad i \geq 2 \quad (13)$$

Часто используется более простая модель  $f(y) = \exp(-y)$ , для которой  $C_i = 1/i$ .

В качестве узкополосной обычно привлекается модель Гуди

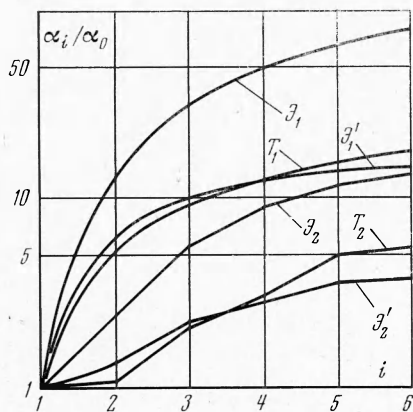
$$A_{\omega} = 1 - e^{-z}, \quad z = \frac{sx/d}{\sqrt{1 + 2sx/\beta d}} \quad (\beta = 2\pi b/d) \quad (14)$$

С использованием (14) ниже представлены шесть величин

$F_i$ :

$i$	$F_i$
1	1
2	$1 + \frac{2}{\beta}$
3	$1 + \frac{6}{\beta} + \frac{9}{\beta^2}$
4	$1 + \frac{12}{\beta} + \frac{48}{\beta^2} + \frac{60}{\beta^3}$
5	$1 + \frac{20}{\beta} + \frac{150}{\beta^2} + \frac{480}{\beta^3} + \frac{524.8}{\beta^4}$
6	$1 + \frac{30}{\beta} + \frac{360}{\beta^2} + \frac{2100}{\beta^3} + \frac{5760}{\beta^4} + \frac{5670.4}{\beta^5}$

Любопытное совпадение полиномов  $F_i$  получается при  $A_{\omega} = 1 + \exp(z)$  в всех положительных производных  $z_0^{(i)}$ .



На фигуре показаны коэффициенты  $\alpha_i / \alpha_0$ , соответствующие ряду (2). Кривые означают:  $\mathcal{Z}_1, \mathcal{Z}_2$  — по формулам (11) — (14), полиномы  $F_i(\beta)$  представлены ранее;  $\mathcal{Z}_1', \mathcal{Z}_2'$  — по формулам (11), (12) и (15);  $T_1, T_2$  — по формулам (5) и (16). Индексы 1 и 2 в обозначениях кривых соответствуют  $\beta = 0.051266$  и  $\beta = 0.29$ . Как видно, теорема выполняется (см. выражения  $\alpha_i / \alpha_0$ ).

Величина  $(\alpha_{\omega})_{\max}$  по (14) оказывается бесконечно большой. Это следует из того, что статистическая модель (14) включает линии с бесконечной интенсивностью при фиксированной ширине.

Если в той же модели принять линии с одинаковой интенсивностью, то

$$z = \beta L(sx / \beta d) \quad (15)$$

где  $L$  — функция Ланденбурга и Райхе. Теперь  $(\alpha_{\omega})_{\max}$  — некоторая конечная величина. При  $\beta \rightarrow 0$ , когда линии не перекрываются, величина  $(\alpha_{\omega})_{\max} = s / \pi b$ , как для одиночной линии.

Величины  $\alpha_i / \alpha_0$  с использованием (15) при тех же  $\beta_1$  и  $\beta_2$  показаны на фигуре. Полиномы  $F_i$  отличаются от представленных ранее только числами в числителях.

Вместо (14) используем приближение в рамках эльзассеровской модели

$$A_{\omega} = \operatorname{erf}(z \sqrt{\pi} / 2)$$

Аргумент  $z$  записан в (7) при  $a = \pi / 2$ . Согласно [1] в случае слабой линии приближение имеет наибольшую ошибку  $< 3\%$  при  $\beta = 1$ . Она увеличивается до 7–7.5% с уменьшением  $\beta$ . Максимальное абсолютное отклонение не превышает 0.03–0.035. С дополнительной погрешностью  $< 0.7\%$  используем упрощение [1]

$$\operatorname{erf}(z \sqrt{\pi} / 2) \approx \sqrt{1 - \exp(-z^2)}$$

Тогда уже четвертая производная  $A_{\omega_0}^{(4)}$  становится бесконечно большой. Теорема (4) не выполняется вследствие введенных приближений.

Рассмотрим эмпирическую формулу, предложенную в [3] и с тех пор широко используемую в литературе

$$\bar{A} = \ln \left( 1 + uf \frac{u+2}{u+2f} \right) \quad (16)$$

$$u = \alpha_0 x, \quad \alpha_0 = \frac{S}{\Delta \omega}, \quad f = 2.94 [1 - \exp(-1.3\beta)], \quad \beta = 2\pi \frac{b}{d}$$

Первые отношения  $\alpha_i / \alpha_0$  в общем виде представлены ниже:

$i$	$\prod_{j=1}^i (\alpha_j / \alpha_0)$
1	1
2	$1/f$
3	$\frac{3}{2f^2} + \frac{3}{2f} - 1$
4	$3 \left( \frac{1}{f^3} + \frac{2}{f^2} - 1 \right)$
5	$\frac{15}{2} \left( \frac{1}{f^4} + \frac{3}{f^3} + \frac{2}{f^2} - \frac{2}{f} - \frac{4}{5} \right)$
6	$\frac{45}{2} \left( \frac{1}{f^5} + \frac{4}{f^4} + \frac{44}{9f^3} + \frac{1}{3f^2} - \frac{16}{3f} + \frac{4}{9} \right)$

На фигуре приведены отношения  $\alpha_i / \alpha_0$  при  $\beta = \beta_1$  и  $\beta = \beta_2$ . При  $\beta \leq \beta_1 = 0.051266$  можно принять  $f = 3.82 \beta$  с погрешностью  $< 3\%$ .

При определенных условиях формула (16) упрощается

$$\bar{A} = \ln(1 + uf), \quad \alpha_i / \alpha_0 = (i - 1)f, \quad f \geq 2$$

По (2) получается

$$\bar{A} = uf - \frac{(uf)^2}{2} + \frac{(uf)^3}{3} - \dots$$

Ряд расходится при  $uf > 1$ . Следовательно, формула (16) не вполне корректная. Например, она ограничена по параметру  $\beta$  снизу. При  $u \gg 2f$  коэффициент  $\alpha_1$  получается неверным, так как зависит от давления. В [4] эмпирическая формула  $\bar{A} = \ln(2 - \beta + u\beta)$  рекомендуется при  $\bar{A} > 2$ . Тем самым очень малые значения  $u\beta$  исключаются. Далее величина  $(\alpha_{\omega})_{\max}$  по (16), если она имеет смысл, получается бесконечно большой. И, наконец, отметим, что контур перестроенной полосы  $f(v)$ , соответствующий формуле (16), имеется, по-видимому, только при  $x \rightarrow 0$ ,  $f(v) = v \exp(-v)$ .

Действительно, при малых толщинах в соответствии с формулой (16)

$$f(v) = ve^{-v} \approx -\frac{1}{u} \ln [1 - e^{-vh}(vu)]$$

$$\bar{A} = \int_0^{\infty} [1 - \exp(-uf(v))] dv = \int_0^{\infty} e^{-vh}(uv) dv = \ln(1+u)$$

Здесь  $h(vu) = \ln(\gamma vu) + E_1(vu)$ ,  $\ln \gamma = 0.57722$ ,  $E_1$  — интегральная показательная функция,  $h(vu) \approx vu$  при  $vu \ll 1$ .

Сравнение приведенных ранее выражений для полиномов показывает существенные различия в зависимости коэффициентов  $\alpha_j$  от параметра  $\beta$ .

Перейдем к важным примерам приближенных формул, при создании которых используются свойства ряда (2). Если известны хотя бы первые коэффициенты  $\alpha_j$ , ряд (2) дает формулу, пригодную для малых толщин. Ее предел можно расширить после оценки остатка ряда. Часто удается приближенное свертывание всего ряда.

*Функция Ланденбурга и Райхе.* Функция  $L(u)$  определяет поглощение в одиночной линии с дисперсионным контуром. Интерес к функции возрос после того, как Гуди использовал ее при описании поглощения в узкой полосе (см. формулу (15)). В соответствии с рядом (2)

$$L(u) = \frac{A}{2\pi b} = u_1 - \frac{u_1 u_2}{2!} + \dots + (-1)^{i+1} \frac{1}{i!} \prod_{j=1}^i u_j + \dots \quad (17)$$

$$u = \frac{sx}{2\pi b}, \quad u_j = \frac{sx}{2\pi b} m_j, \quad m_1 = 1, \quad m_j = 2 - \frac{1}{j-1}, \quad j \geq 2$$

Здесь  $A$  — интегральное поглощение в линии ( $\text{см}^{-1}$ ).

Последовательность чисел  $m_j$  позволила сделать выбор функции пригодной для всех толщин

$$L = \sqrt{\frac{2}{\pi} u} \operatorname{erf}\left(\frac{\pi}{2} \sqrt{\frac{u}{2}}\right)$$

С использованием приведенного выше приближения интеграла вероятностей получается

$$L_0 = \sqrt{\frac{2}{\pi} u} \left[1 - \exp\left(-\frac{\pi}{2} u\right)\right]$$

с максимальной погрешностью 5.7% при  $u = 1.2-1.6$ .

В работе [1] приведена формула

$$L = u \left[1 + \left(\frac{\pi}{2} u\right)^{1.25}\right]^{-0.4} \quad (18)$$

с погрешностью  $\lesssim 1\%$ . Ее упрощение дает

$$L_* = u / \sqrt{1 + \pi u / 2}$$

с наибольшей погрешностью 7.5% при  $u \approx 1$ .

Благодаря тому что отклонения  $L_0$  и  $L_*$  противоположные, получаем интерполяционную формулу

$$L = 0.57L_0 + 0.43L_* \quad (19)$$

с погрешностью  $< 1\%$  (как правило, значительно меньше 1%). Формула (19) более удобная, чем (18).

При малых толщинах очень точные приближения можно получить путем отдельного учета первых членов ряда (17). Благодаря тому, что по-

следовательность чисел  $m_j$  быстро сходится, остаток ряда можно свернуть с помощью экспоненциальной функции

$$L = 0.2u + 0.14 u^2 - 0.065u^3 + [1 - \exp(-1.6u)] / 2 \quad (20)$$

Коэффициент при  $u^3$  исправлен так, чтобы функция была точной при  $u = 1.2$ . В таком случае формула (20) хорошо описывает функцию до  $u = 1.4$ .

Конструкции формул с отдельным учетом первых членов ряда могут быть другими.

Приведем также экстраполяционную формулу, пригодную для больших аргументов

$$L(u_*) = \sqrt{u_*/u} L(u)$$

При  $u = 5$ ,  $0.7 \leq u_*/u \leq 1.56$  погрешность формулы равна 1.2 — 1%. По мере увеличения  $u$  и сближения аргументов  $u_*$ ,  $u$  погрешность быстро уменьшается.

*Поглощение в полосе по модели (12) с перекрывающимися линиями.*

$$A_\omega = 1 - \exp(-sx/d), \quad \bar{A} = 2I(u_0)$$

$$2I = u_0 - C_2 \frac{u_0^2}{2!} + C_3 \frac{u_0^3}{3!} - \dots \quad (u_0 = \alpha_0 x, \alpha_0 = S/\Delta\omega) \quad (21)$$

Здесь  $C_j$  определяется по (13),  $C_2 = 0.3133$ . Далее  $C_j / C_{j-1}$  стремится к пределу  $1/\sqrt{2e} \approx 0.43$ . Близкие значения чисел  $C_j / C_{j-1}$  позволили использовать для свертывания ряда (21) экспоненциальную функцию

$$I = 1.6 [1 - \exp(-0.625 u_0 / 2)]$$

Максимальная погрешность формулы в интервале  $0 \leq u_0 \leq 4$  равна 1.7% при  $u_0 = 4$ . Далее она быстро увеличивается. При  $u_0 \geq 20$  [5]

$$I = 1.11 \sqrt{\ln(1.21u_0)}$$

с погрешностью  $< 3\%$ .

Для промежуточных значений  $4 \leq u_0 \leq 20$  нашли формулу

$$I = \sqrt{1.7 [1 + \exp(-0.43u_0)] \ln(u_0 / 2)}$$

с максимальной погрешностью  $< 1.5\%$  при  $u_0 = 8$ .

Теперь имеются достаточно простые и точные формулы  $I$  для всех  $u_0$ . Они значительно точнее приближения в [6] для всех  $u_0$

$$I = \sqrt{[1 - \exp(-u_0/2)] [0.5772 + \ln(u_0/2)] + E_1(u_0/2)}$$

Наконец, приведем другую формулу с отдельным учетом первых членов ряда (21)

$$I = \frac{u_0}{2} \left\{ 1 - \frac{C_2 u_0}{2} \left[ 1 - \frac{C_3^2}{C_2 C_4} \left( 1 - \frac{2C_3 \Phi}{C_4 u_0} \right) \right] \right\}$$

$$\Phi = 1 - \left[ 1 - \exp\left(-\frac{C_4 u_0}{C_3}\right) \right] \frac{C_3}{C_4 u_0}$$

$$(C_2 = 0.3133, \quad C_3 = 0.1111, \quad C_4 = 0.04158)$$

Погрешность формулы ничтожная, вплоть до  $u_0 = 6$ . Далее она увеличивается и при  $u_0 = 10$  равна 0.25%. Для сравнения были привлечены графики функции  $I(u_0)$  в [5], более подробные, чем в [6].

Поступила 7 IX 1971

#### ЛИТЕРАТУРА

1. М а т в е е в В. С. Приближенные представления функции поглощения эльзасеровой и статистической моделей полос. Ж. прикл. спектроскопии, 1970, т. 12, вып. 3.
2. Э д в а р д с Д. Излучательные характеристики материалов. Теплопередача, 1969, т. 91, № 2.
3. G i e n C. L., L o w d e r J. E. A correlation for total band absorptance of radiating gases. Internat. J. Heat and Mass Trans., 1966, vol. 9, No. 7.
4. Э д в а р д с, Г л э с с е н, Х а у з е р, Т а ш е р. Лучистый теплообмен в неизо-термических несерых газах. Теплопередача, 1967, т. 89, № 3.
5. Л у к а ш В. П. Расчет излучательной способности продуктов сгорания углеводородных топлив ( $\text{CO}_2$  и  $\text{H}_2\text{O}$ ) при высоких температурах и давлениях. Теплофизика высоких температур, 1971, т. 9, № 4.
6. П е н н е р С. С. Количественная молекулярная спектроскопия и излучательная способность газов. М., Изд-во иностр. лит., 1963.